

**საქართველოს ტაძნიკური უნივერსიტეტი
ჰიდრომეტეოროლოგიის ინსტიტუტი**

შ0360 № IHM-14-21- GTU-2439

ინსტიტუტის დირექტორი

თ. ცინცაძე

25 დეკემბერი 2014 წ

პროექტის დასკვნითი ანგარიში

**თბილისის შემოსასვლელი საავტომობილო გზის
რეკოსტრუქციის შედეგად შემცირებული სითბურის
გაზების ემისიის განსაზღვრა**

(დასკვნითი ანგარიში)

2013-2014

სამეცნიერო საბჭოს თავჯდომარე

ნ.ბეგალიშვილი

თემის ხელმძღვანელი

ნ.ბეგლარაშვილი

პასუხისმგებელი შემსრულებელი

ნ.ბეგლარაშვილი

თბილისი
2014

რეფერატი

ანგარიში შეიცავს: 38 გვერდს, 18 ნახაზს, 11 ცხრილს და 10 ლიტერატურულ წყაროს

საკვანძო სიტყვები: კლიმატის ცვლილება, სათბურის გაზები, ავტოტრანსპორტი,
საავტომობილო გზები, მდგრადი განვითარება.

ანოტაცია

განხილულია ქ.თბილისის დასავლეთის ცენტრალურ შემოსასვლელ გზაზე
(გიორგი რობაქიძის გამზირის, მარშალ გელოვანის გამზირისა და დავით
აღმაშენებლის ხეივნის დამაკავშირებელი გზაჯვარედინი) მოძრაობის განტვირთის
დონისძიება და რეკონსტრუქციის პოლოგიური ასპექტები. შეფასებულია
სათბურის გაზების ემისიის შემცირების და საინჟინრო დონისძიებების
პოლოგიური ეფექტურობა.

შემსრულებლები

უფროსი მეცნ. თანამშრ. გეოგრაფიის აკად. დოქტორი	ნ.ბეგლარაშვილი (თავები 1, 2, 3, 5)
წამყვანი სპეციალისტი	ა.გიორგიშვილი (თავი 2)
წამყვანი სპეციალისტი	გ.ხატიაშვილი (თავი 4.1)
უფროსი სპეციალისტი	გ.ფიფიძე (თავი 4.1; 4.2)
მეცნიერ თანამშრომელი	ს.მდივანი (თავი 2)

შინაარსი

რეზიუმე	5
შესავალი	6
0ავ0 1. კვლევის თემატიკის არტუალურობის დასაბუთება	8
0ავ0 2. საკვლევი რგიერების მოკლე მიმოხილვა	12
0ავ0 3. კვლევის მეთოდოლოგია	15
0ავ0 4. საკვლევი გზაჯგარედინის შესწავლა	18
0ავ0 5. საკვლევი შექნიშნის შესწავლა	25
4.1. შუქნიშანზე მდგარი ავტონაკადის ინტენსივობის დადგენა	26
4.2. შუქნიშანზე მდგარი ავტონაკადის მიერ მოხმარებული საწვავის ოდენობის განსაზღვრა	30
0ავ0 5. შექნიშნის გაუძმების შედებად სათბურის გაზების ეფისის შემცირების განსაზღვრა	34
დასკვნები	37
ლიტერატურა	38

რეზიუმე

შეფასდა ქ.თბილისის დასავლეთის ცენტრალურ შემოსასვლელი გზაზე მოძრაობის განტვირთის დონისძიება და რეკონსტრუქციის ეკოლოგიური ასპექტები.

შერჩეულ იქნა საკვლევი მონაკვეთი: გიორგი რობაქიძის გამზირის, მარშალ გელოვანის გამზირისა და დავით აღმაშენებლის ხეივნის დამაკავშირებელი გზაჯვარედინი და მისი რეკონსტრუქცია, როგორც მოძრაობის განტვირთის დონისძიება.

გამოთვლილია საკვლევი გზაჯვარედინისათვის ავტოსატრანსპორტო საშუალებებიდან ემიტირებული სათბურის გაზები, კერძოდ CO_2 , N_2O და CH_4 , მოხმარებული საწვავის ოდენობისა და ავტონაკადის ინტენსივობის მონაცემებზე დაყრდნობით შუქნიშნის გაუქმებამდე პარიოდში.

განისაზღვრა ქ.თბილისში დასავლეთის ცენტრალურ შემოსასვლელ გზაზე რეკონსტრუქციის შედეგად სათბურის გაზების ემისიის შემცირების რაოდენობრივი მაჩვენებელი და შეფასდა მისი ეკოლოგიური ეფექტურობა.

შესაბალი

თანამედროვე საზოგადოების მიერ ბუნებრივ გარემოზე ზემოქმედებით გამო-
წვეული მრავალგვარი უარყოფითი შედეგებიდან ერთ-ერთი მნიშვნელოვანია კლი-
მატის ცვლილება.

დედამიწის გარკვეული რეგიონების კლიმატის შესწავლის დასაწყისშივე,
ჯერ კიდევ მე-19 საუკუნეში, დადგენილ იქნა კლიმატის მნიშვნელოვანი
ცვალებადობა ისტორიულ წარსულში და აქედან გამომდინარეობდა მისი ცვლი-
ლების პროგნოზის აუცილებლობა მომავლისათვის.

ადამიანის საქმიანობის ფაქტობრივად ყველა ის სფერო, რომელიც თანამე-
დროვე ცხოვრების განუყოფელ ნაწილს შეადგენს, განაპირობებს სათბურის
გაზების ემისიას. ანთროპოგენური წარმოშობის სათბურის გაზის უდიდესი წყარო
წიაღისეული საწვავის მოხმარება. იგი განაპირობებს CO_2 -ის მთლიანი ემისიის
დაახლოებით 80%-ს [11].

მიუხედავად იმისა, რომ კლიმატი მყისიერად არ რეგირებს ემისიებზე,
სათბურის გაზების როლი მკვეთრად იკვეთება კლიმატის ცვლილებაში.

გასული საუკუნის ბოლო მეოთხედი აღინიშნა ეკონომიკის განვითარების და
გარემოზე მისი ზემოქმედების პრობლემისადმი საზოგადოების ინტერესის ზრდით.
დაიწყო განვითარების ისეთი ოპტიმალური გზების ძიება, როცა საზოგადოების და
სახელმწიფოს არსებობისათვის აუცილებელი ელემენტები (ეკონომიკა, ბუნებრივი
რესურსები, გარემო და სხვ.) სხვა ელემენტების ინტერესების მაქსიმალური
გათვალისწინებით ვითარდება, რათა რაც შეიძლება ნაკლები ზიანი მიაყენონ
ერთმანეთს. ასეთი თანაარსებობის საუკეთესო გამოხატულებაა მდგრადი განვი-
თარების ცნების წარმოშობა [6], რომელიც გამოხატავს კაცობრიობის შეშფოთებას
გარემოზე ადამიანის საწარმოო საქმიანობის უარყოფითი გავლენის გამო და ხაზს
უსგამს ამ საქმიანობის გარემოსთან პარმონიზაციის მიმართულებით წარმართვის
აუცილებლობას. მდგრადი განვითარების კონცეფცია გულისხმობს ადამიანის
საქმიანობის ისეთ რეჟიმს, რომელიც, ერთის მხრივ, აუმჯობესებს მის
მატერიალურ მდგომარეობას და მეორეს მხრივ არ უქმნის საფრთხეს მომავლს.

იგი განიხილავს სამ ძირითად კომპონენტს: ბუნებრივ გარემოს, ეკონომიკასა და სოციალურ გარემოს და მათგან შედგენილი ტრიადის მდგრადობას [11].

ვლინდება გარკვეული პროგრესი მდგრადი განვითარების მიმართულებით: ცალკეულ შემთხვევებში იქმნება მდგრადი განვითარების კომისიები, ამაღლდა ცნობიერების დონე, ძალაში შევიდა კლიმატის ცვლილების გარემოსდაცვითი კონვენციები, გაჩნდა და დაინერგა მრავალი გარემოსდაცვითი ინიციატივა და პროექტი, ამაღლდა საზოგადოების პასუხისმგებლობის განცდა და სხვ.

არსებულ საერთაშორისო ვალდებულებებს შეუძლიათ რამდენადმე შეამცირონ ემისიების ზრდა. ერთ-ერთი ასეთია კლიმატის ცვლილების ჩარჩო-კონვენცია [1], რომელიც ძალაში შევიდა 1992 წელს და რომლის უმთავრესი მიზანია ატმოსფეროში სათბურის გაზების კონცენტრაციების სტაბილიზაცია იმ დონეზე, რომელიც გამორიცხავს კლიმატურ სისტემაში საშიშ ანთროპოგენურ ჩარევას და ეს დონე მიღწეულ უნდა იქნას დროის ისეთ მონაკვეთში, რომელიც საფრთხეს არ შეუქმნის მდგრად განვითარებას [11].

თავი 1

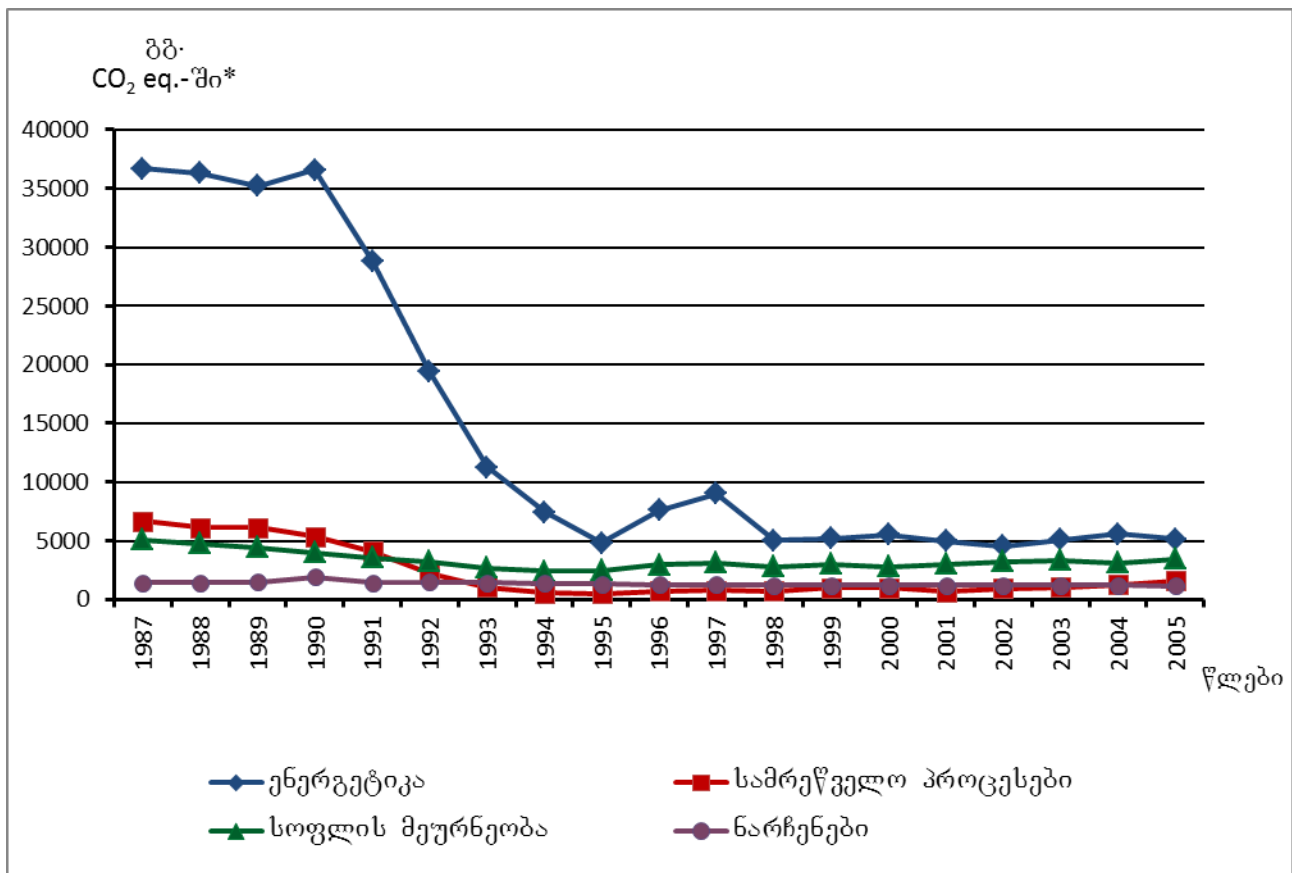
პლევის თემატიკის არტუალურობის დასაბუთება

1992 წლიდან, გაეროს კლიმატის ცვლილების ჩარჩო-კონვენციის მიღების შემდეგ, მსოფლიომ აქტიური საქმიანობა დაიწყო ამ პრობლემასთან დაკავშირებული ამოცანების გადასაჭრელად.

ენერგეტიკის სექტორი ძირითადად მოიცავს ემისიებს, გამოწვეულს სტაციონარულ და მოძრავ წყაროებში საწვავის წვით. გლობალურად, ენერგეტიკის სექტორი სათბურის გაზების ანთროპოგენური ემისიების მთავარ წყაროს წარმოადგენს. მისი წილი სათბურის გაზების მთლიან ემისიებში CO₂-ის ექვივალენტში შეადგენს დაახლოებით 75%-ს. ნახშირორჟანგის ანთროპოგენური ემისიების 90% ამ სექტორზე მოდის. მეთანის ემისიებში ამ სექტორის წილი შედარებით ნაკლებია და შეადგენს 49%-ს, აზოტის ქვეჟანგისა კი – მხოლოდ 6%-ია. საწვავის წვისას წარმოქმნილი გაზებიდან ყველაზე მნიშვნელოვანი სათბურის გაზია CO₂ (ნახშირორჟანგი) საწვავის წვისას გამოიყოფა ასევე ისეთი სათბურის გაზები როგორიცაა N₂O (აზოტის ქვეჟანგი) და CH₄(მეთანი) [4].

გლობალური კლიმატის ცვლილების გამომწვევი ერთ-ერთი ძირითადი მიზეზი – სათბურის გაზების ემისია საქართველოს ტერიტორიიდან ჯერ-ჯერობით უმნიშვნელოდა და გლობალური ემისიების 0.1%-ზე ნაკლებს შეადგენს. მიუხედავად ამისა, 1996 წლიდან ქვეყანა აქტიურად მონაწილეობს გაეროს კლიმატის ცვლილების კონვენციის მოთხოვნათა შესრულებაში, რომელთაგან ერთ-ერთი გულისხმობს კონვენციაში მონაწილე ყველა ქვეყნისაგან შეძლებისდაგვარი წვლილის შეტანას სათბურის გაზების ემისიების შემცირებაში.

ნახაზზე 1 მოცემულია საქართველოში სათბურის გაზების ემისიების გრენდი 1987-2005 წლებისათვის ძირითადი სექტორებისათვის: ენერგეტიკა, სამრეწველო პროცესები, სოფლის მეურნეობა და ნარჩენები [4].



ნახ. 1. საქართველოში საობურის გაზების ემისიების ტრენდი 1987-2005 წლებში
(გგ. CO₂ eq.-ში)

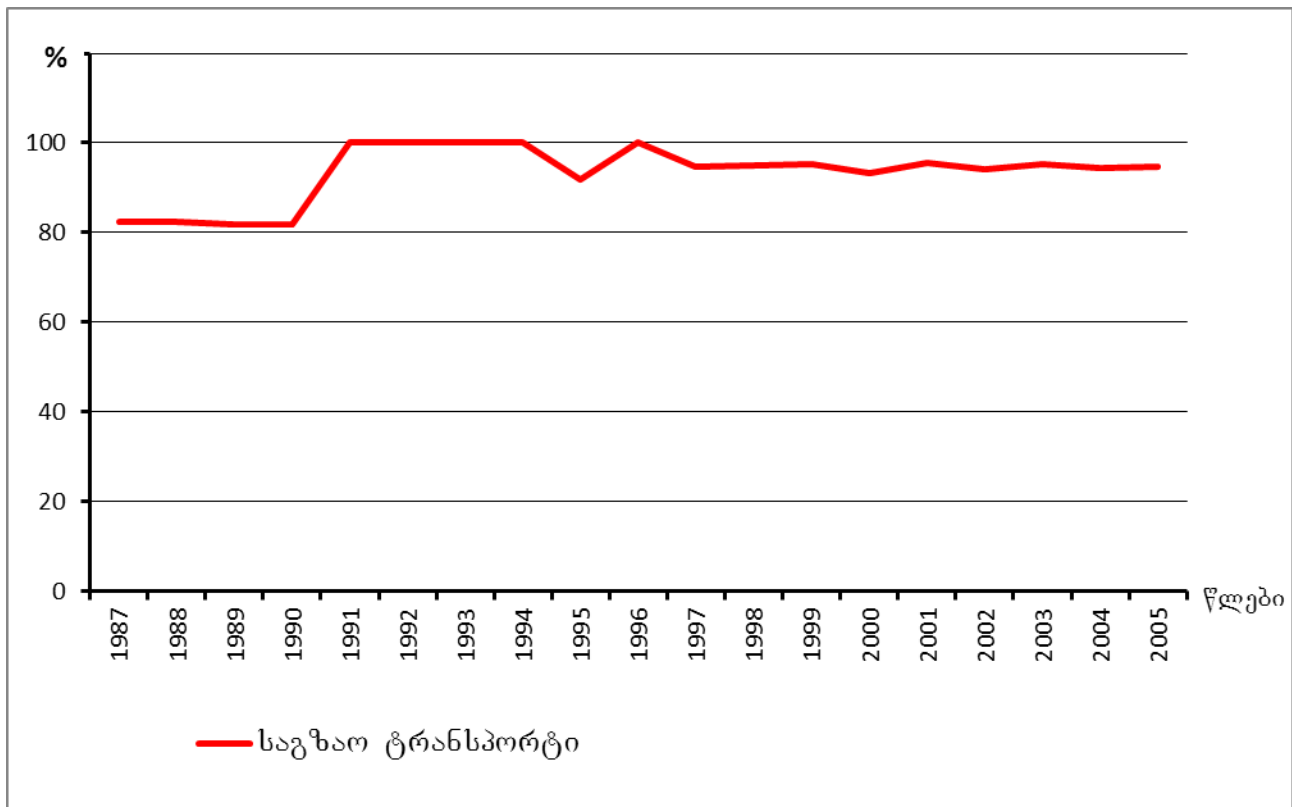
შენიშვნა* 1გგ= 10^3 გ= 10^6 კგ- 10^9 გ; 1გ= 10^{-3} გგ.

როგორც ნახაზიდან ჩანს საობურის გაზების ემისიები ენერგეტიკის სექტორიდან მაღალი მაჩვენებლით გამოირჩევა.

ტრანსპორტის სექტორი საქართველოში ისევე, როგორც მსოფლიოს უმეტეს ქვეყნებში საობურის გაზების ერთ-ერთი უმნიშვნელოვანები ემიტორია და ამიტომაც ამ სექტორიდან ემისიების ინგენტარიზაციას და შემამცირებელი ღონისძიებების გატარებას მთელს მსოფლიოში დიდი ყურადღება ეთმობა. ევროკავშირის გადაწყვეტილებით 2020 წლისთვის საობურის გაზების ემისია ტრანსპორტის სექტორიდან 10%-ით უნდა შემცირდეს.

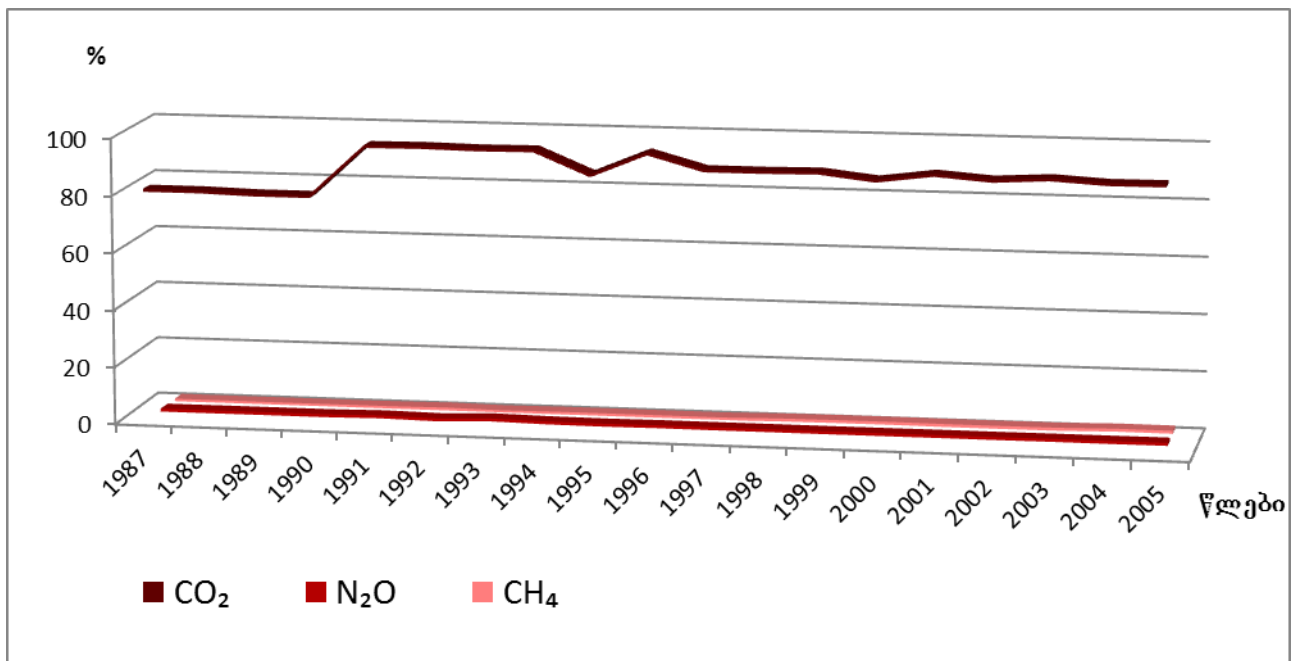
ტრანსპორტის სექტორის ემისიებში უველავე დიდი წვლილი შეაქვს ემისიებს საგზაო ტრანსპორტიდან. ამის მიზეზად შეიძლება ჩაითვალოს მსუბუქი

ავტომობილების პარკის ზრდა, რაც ძირითადად ევროპიდან იმპორტირებულ მეორადი ავტომობილების ხარჯზეა. ასევე ეკონომიკის გამოცოცხლება და შესაბამისად სატვირთო გადაზიდვების მოცულობის ზრდა ქვეყანაში. ნახაზზე 2 ნაჩვენებია ტრანსპორტის სექტიონი საგზაო ტრანსპორტიდან სათბურის გაზების ემისიების ტრენდის პროცენტული მაჩვენებელი წლების მიხედვით.



ნახ. 2. ტრანსპორტის სექტიონი საგზაო ტრანსპორტიდან ძირითადი სათბურის გაზების ემისიების ტრენდი (%).

1991-1994 წლებში საგზაო ტრანსპორტის მაქსიმალურად მაღალი პროცენტული მაჩვენებელი ავიაციის თითქმის უფუნქციონ დარჩენით აიხსნება. ძირითადი სათბურის გაზების ემისიების პროცენტული მაჩვენებელი საგზაო ტრანსპორტიდან 1987-2005 წლებისათვის ნაჩვენებია ნახაზზე 3 [4].



ნახ. 3. ძირითადი სათბურის გაზების ემისიების პროცენტული მაჩვენებელი საგზაო ტრანსპორტიდან 1987-2005 წლებისათვის.

საავტომობილო გზების მახასიათებლები 60-80%-ით განსაზღვრავენ ეპოლოგიურ ეფექტურობას [3].

თავი 2

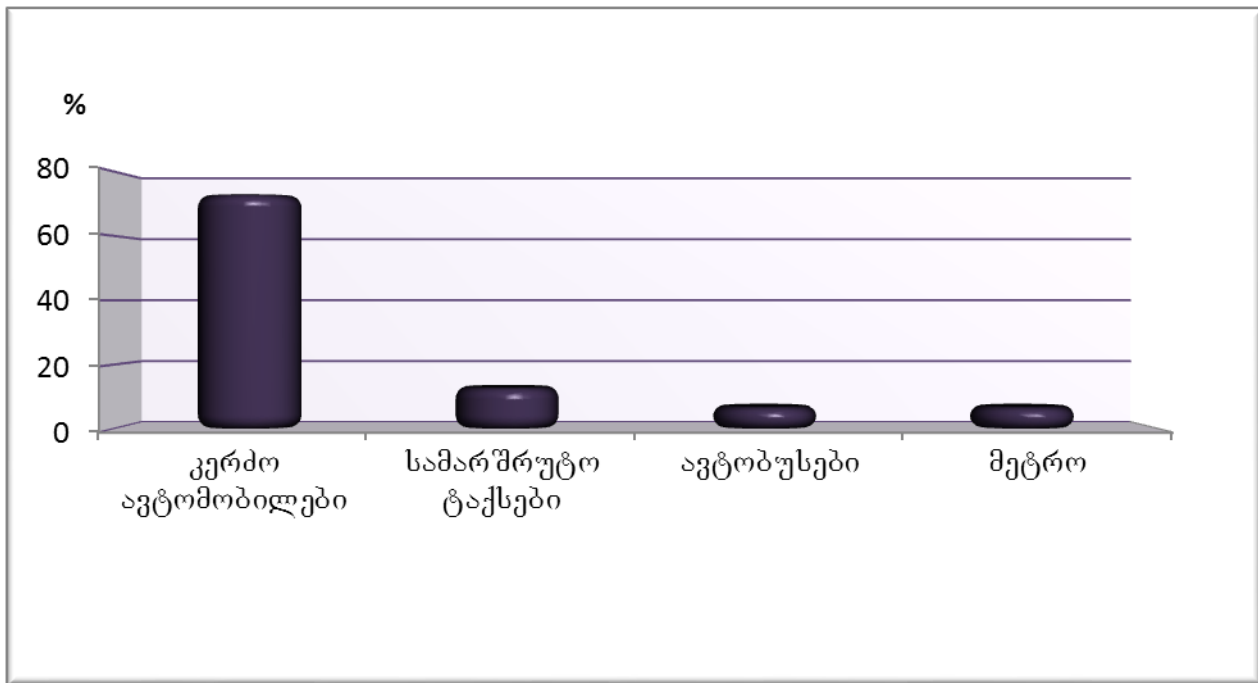
საპლაზო ობიექტის მიმოხილვა

დღეისათვის მეცნიერული და ტექნოლოგიური მიღწევები საავტომობილო გზების თანამედროვე მდგომარეობაზეც აისახება. ამავდროულად, მოდერნიზებული საავტომობილო გზები, გამართული ინფრასტრუქტურით, ერთ-ერთი წინ გადადგმული ნაბიჯია კლიმატის ცვლილების შერბილებისაკენ მიმართულ დონისძიებათა შორის, რადგან ავტოტრანსპორტი ენერგეტიკის სექტორის ფუნდამენტური შემადგენელი ნაწილია და წარმოადგენს სათბურის გაზებით ატმოსფერული ჰაერის დაბინძურების ერთ-ერთ მნიშვნელოვან წყაროს.

ტრანსპორტი ენერგეტიკის სექტორის ძირითადი შემადგენელი ნაწილია და წარმოადგენს კლიმატის გლობალურ ცვლილებაში მონაწილე სათბურის გაზებით ატმოსფერული ჰაერის დაბინძურების ერთ-ერთ მძლავრ წყაროს.

თანამედროვე ქალაქების ეკოლოგიურ მდგომარეობაზე უარყოფით გავლენას ახდენს ტრანსპორტი. ამ მხრივ გამონაკლისს არ წარმოადგენს ქ.თბილისი, განსაკუთრებით თუ გავითავლისწინებო მის გეოგრაფიულ მდებარეობასა და რელიეფს, თბილისი გრძივი ფორმისაა ორი პარალელური ბარიერით: ბუნებრივი - მდ.მტკვარი და ხელოვნური - რკინიგზა, რაც აფერხებს ტრანსპორტის მობილურობას.

თბილისი, როგორც ქვეყნის დედაქალაქი, ყველაზე მჭიდროდ დასახლებული ქალაქია საქართველოში. საქართველოს ეროვნული სტატისტიკის სამსახურის მონაცემების მიხედვით 2010 წლის დასაწყისისთვის თბილისის მოსახლეობის რაოდენობა 1152500-ით განისაზღვრება, რაც მოედი ქვეყნის მოსახლეობის 30%-ს შეადგენს [2]. მოსახლეობის ზრდას შედეგად მოჰყვა ტრანსპორტის ნაკადის ზრდა (ნახ.4), რამაც თავის მხრივ გამოიწვია CO₂-ის ემისის ზრდა ტრანსპორტის სექტორიდან და ასევე მისი თანმდევი გვერდითი მოვლენები როგორიცაა გადატვირთული მოძრაობა, მწვანე ზოლის დაკარგვა, გადაჭარბებული ხმაური და რაც ყველაზე მნიშვნელოვანია, ატმოსფერული ჰაერის დაბინძურება.



ნახ. 4. ქ. თბილისში სამგზავრო ტრანსპორტის პროცენტული მაჩვენებელი

დღეისათვის ქ.თბილისის ტრანსპორტის პარკი კურძო ავტომობილების, ავტობუსების, მეტროსა და სამარშუტო ტაქსებისაგან შედგება. 2003 წლიდან ქალაქის მერიამ განახორციელა რიგი პროექტებისა, რომელთა მიზანი იყო საზოგადოებრივი ტრანსპორტის ინფრასტრუქტურისა და მართვის სისტემის გაუმჯობესება.

2010 წლის აპრილში ქ.თბილისის მერია შეუერთდა ევროკავშირის ეგიდით მოქმედ მემორანდუმს ე.წ. „მერების შეთანხმება“, რომელიც წარმოადგენს კლიმატის ცვლილების შესარბილებლად მიმართულ დოკუმენტს. შეთანხმება ითვალისწინებს 2020 წლამდე სათბურის გაზების (CO_2 -ის) ემისიების 20%-ით შეემცირებასა და მდგრადი ენერგოტიკის ხელშემწყობი სამოქმედო გეგმის განხორციელებას [10].

გამომდინარე იქიდან, რომ 2005 წლის მონაცემებით ქ.თბილისში სათბურის გაზების ემისიაში ტრანსპორტის წილი ყველაზე მაღალი მაჩვენებლით, 40%-ით განისაზღვრება [10], ვფიქრობთ „მერების შეთნხმების“ დოკუმენტით ნაკისრ ვალდებულებათა შესრულებაში მნიშვნელოვანი ადგილი დაეთმობა ტრანსპორტიდან ემიტირებულ სათბურის გაზებსა და მათი შემცირების დონისძიებებს.

ყოველივე ზემოხსენებულიდან გამომდინარე წინამდებარე პროექტში შეურადღებას ვამახვილებთ ქ.თბილისში დასავლეთის ცენტრალურ შემოსასვლელ გზაზე (მარშალ გელოვანის გამზირისა და დავით აღმაშენებლის ხეივნის გზაჯვარედინი) მოძრაობის განტვირთის დონისძიების, როგორც რეკონსტრუქციის მკოლოგიურ ასპექტებზე.

ჩვენი ამოცანაა ქ.თბილისში დასავლეთის ცენტრალურ შემოსასვლელ გზაზე რეკონსტრუქციის შედეგად სათბურის გაზების ემისიის შემცირების პოტენციალის განსაზღვრა და მისი ეკოლოგიური ეფექტურობის შეფასება.

თავი 3

აგტოტრანსპორტიდან სათბურის გაზების

შმისის ბაზოსათვლელი თანამედროვე მეთოდოლოგიები

საგზაო ტრანსპორტიდან CO₂-ის ემისიების გამოსათვლელად IPCC (კლიმატის ცვლიების სამთავრობათშორისო საბჭო) 1996 წლის მეთოდური სახელმძღვანელო გვთავაზობს ორ მიდგიმას: დონე 1 და დონე 2.

დონე 1 ერთი ანუ “დაღმავალი მიდგომა” ემისიებს განსაზღვრავს ფორმულით:

$$\text{ემისიები} = \sum_j (\text{ემისიების ფაქტორი } j \cdot \text{მოხმარებული საწვავი } j) - \text{შენახული ნახშირბადი} \cdot \text{დაუანგული ფრაქცია } j \cdot 44/12$$

სადაც j მიუთითებს საწვავის ტიპს.

ალტერნატიული დონე 2 ანუ “აღმავალი მიდგომა” ემისიებს გამოითვლის ორ ნაბიჯად: პირველი ნაბიჯია სატრანსპორტო საშუალების მიერ მოხმარებული საწვავის რაოდენობის გამოთვლა:

$$\text{საწვავის მოხმარება}_{ij} = n_{ij} \cdot k_{ij} \cdot e_{ij},$$

სადაც i = სატრანსპორტო საშუალების ტიპი,

j = საწვავის ტიპი,

n = სატრანსპორტო საშუალების რაოდენობა,

k = სატრანსპორტო საშუალების მიერ გავლი მანძილი კილომეტრებში,

e = ყოველ გავლილ კილომეტრზე საშუალოდ დახარჯული საწვავი ლიტ-რებში.

მეორე ეტაპი CO₂-ის ემისიის გამოთვლაა მოხმარებული საწვავის რაოდენობის გამრავლებით საწვავის და ავტომობილის ტიპების შესატყვის ემისიის ფაქტორზე.

$$\text{ემისები} = \sum_i \sum_j (\text{ემისიის ფაქტორი } ij \cdot \text{საწვწვის მოხმარება } ij) [9,10,11].$$

ცხრილში 2 მოყვანილია IPCC-ის მონაცემებით სათბურის გაზების CO_2 -ის, N_2O -ს და CH_4 -ის ხვედრითი მაჩვენებლები ბენზინისა და დიზელის საწვავისათვის [7, 8].

ცხრილი 2. CO_2 , N_2O და CH_4 ემისიის ხვედრითი მაჩვენებლები ბენზინის გაზისა და დიზელის საწვავისათვის, კგ

საწვავი	სათბურის გაზის ხვედრითი ემისიები		
	CO_2	N_2O	CH_4
ბენზინი (ლიტრი)	2.2	0.05	0.001
დიზელი (ლიტრი)	2.613	0.06	0.0002
უნებრივი გაზი (g^3)	1.87	0.00000336	0.0017

თითოეულ ძირითად სათბურის გაზსს ინდივიდუალური წვლილი შეაქვს “სათბურის ეფექტში”. გაზების ნარევის წვლილი კლიმატის ცვლილებაში დამოკიდებულიაიმაზე, თუ რა გაზებო და რა პროპორციით შედიან ნარევში. საერთაშორისო სტანდარტების მიხედვით სათბურის გაზების ემისიების კონტროლისათვის შემოტანილია სათბურის გაზების უნარის დასახასიათებელი ერთეული - გლობალური დათბობის პოტენციალი – გდპ (Global Warming Potential - GWP), რომელიც გამოსახავს კონკრეტული გაზის ემისიებს CO_2 -ის ექვივალენტში, რის თანახმადაც აზოტის ქვევანგი (N_2O) 310-ჯერ მეტ სითბოს ჩაიჭერს ვიდრე ნახშირორჟანგი ანუ 1კგ. CO_2 -ის ექვივალენტი N_2O უდრის 1კგ $\text{CO}_2 \times 310$, ხოლო CH_4 21-ჯერ მეტს გლობალური დათბობის პოტენციალი შეიძლება გამოისახოს როგორც დათბობის სრული ეფექტი გარკვეული დროის (50, 100, 500წელი) განმავლობაში. სათბურის გაზების გლობალური დათბობის პოტენციალის ეს სიდიდეები ნაჩვენებია ცხრილში 3. [4].

ცხრილი 3. გლობალური დათბობის პოტენციალის სიდიდეები ძირითადი სათბურის გაზებისთვის

სათბურის გაზი	სიცოცხლის ხანგრძლივობა, წელი	100-წლიანი გდპ
CO ₂	ცვლადი (50-200)	1
N ₂ O	12±3	310
CH ₄	120	21

თავი 4.

საკვლევი ბზაჯვარედინის შესტავლა

კვლევის ობიექტს წარმოაგენს ქ.თბილისში მარშალ გელოვანის გამზირის, დავით აღმაშენებელის ხეივნის და გიორგი რობაქიძის გამზირის გამაკავშირებელი გაუქმებული გზაჯვარედინი. თბილისის მერიამ 2011 წელს მოძრაობის განტვირთვის მიზნით, ხენებულ გზაჯვარედინზე მარშალ გელოვანის გამზირის ბოლოდან დავით აღმაშენებელის ხეივნისაკენ გასასვლელი გზაგამტარის სამშენებლო სამუშაოები დაიწყო (5).

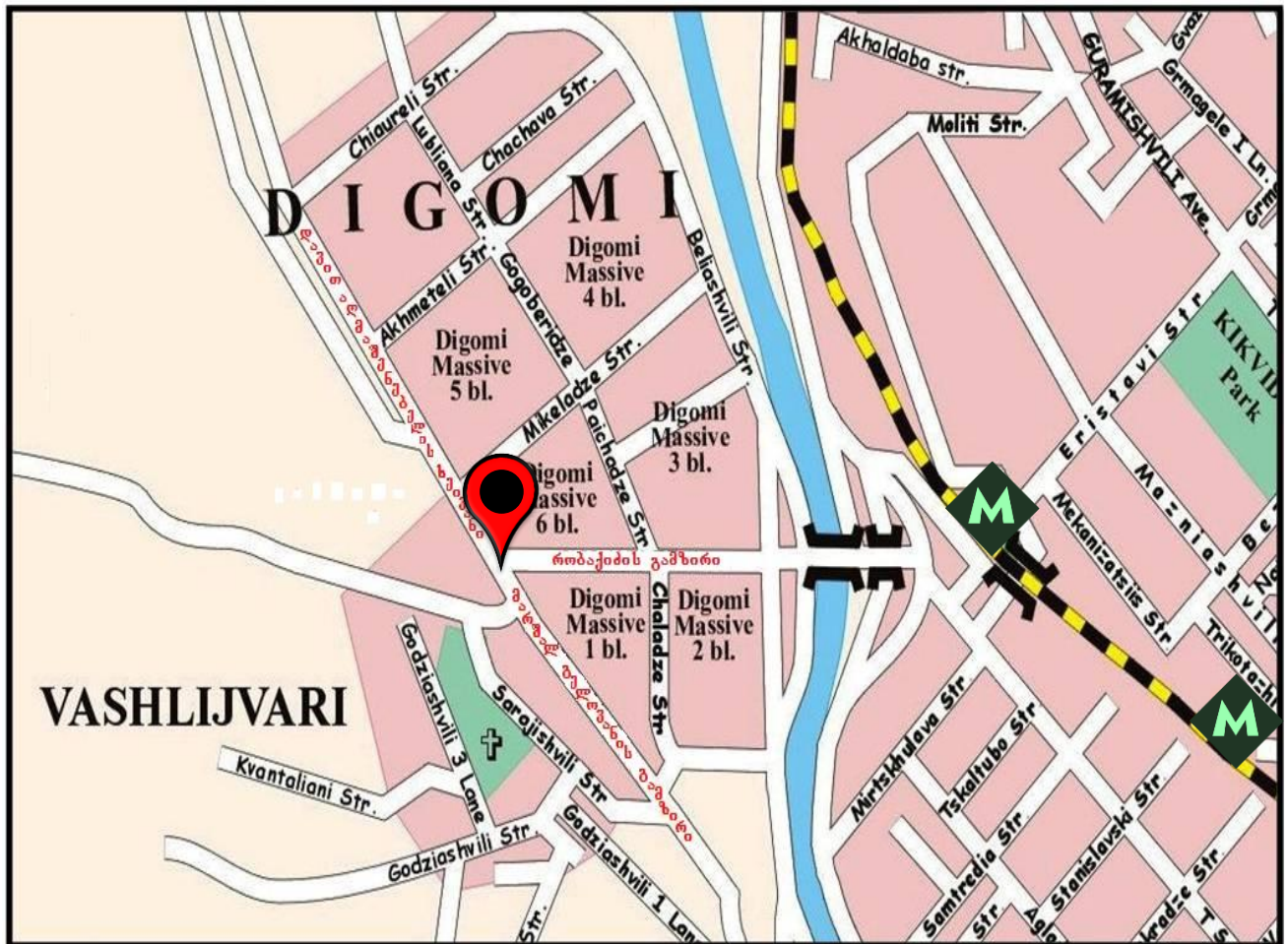
საკვლევ გზაჯვარედინზე სამშენებლო სამუშაოები 2013 წელს დასრულდა. სამუშაოების დასრულების შემდეგ, დავით აღმაშენებელის ძეგლთან გაუქმდა შუქნიშანი და შესაძლებელი გახდა ავტოტრანსპორტის შეუჩერებლად გადაადგილება (ნახ. 10-13). შესაბამისად ჩნდება კითხვა: გამოიწვია თუ არა გზაჯვარედინის გაუქმებამ ცვლილებები ავტოსატრანსპორტო საშუალებებიდან სათბურის გაზების ემისიის რაოდენობრივ მაჩვენებლებში.

წვენი კვლევის მიზანს შეადგენს საკვლევ ობიექტზე შუქნიშნის გაუქმების შედეგად ავტოსატრანსპორტო საშუალებებიდან სათბურის გაზების ემისიის რაოდენობრივ მაჩვენებლების განსაზღვრა.



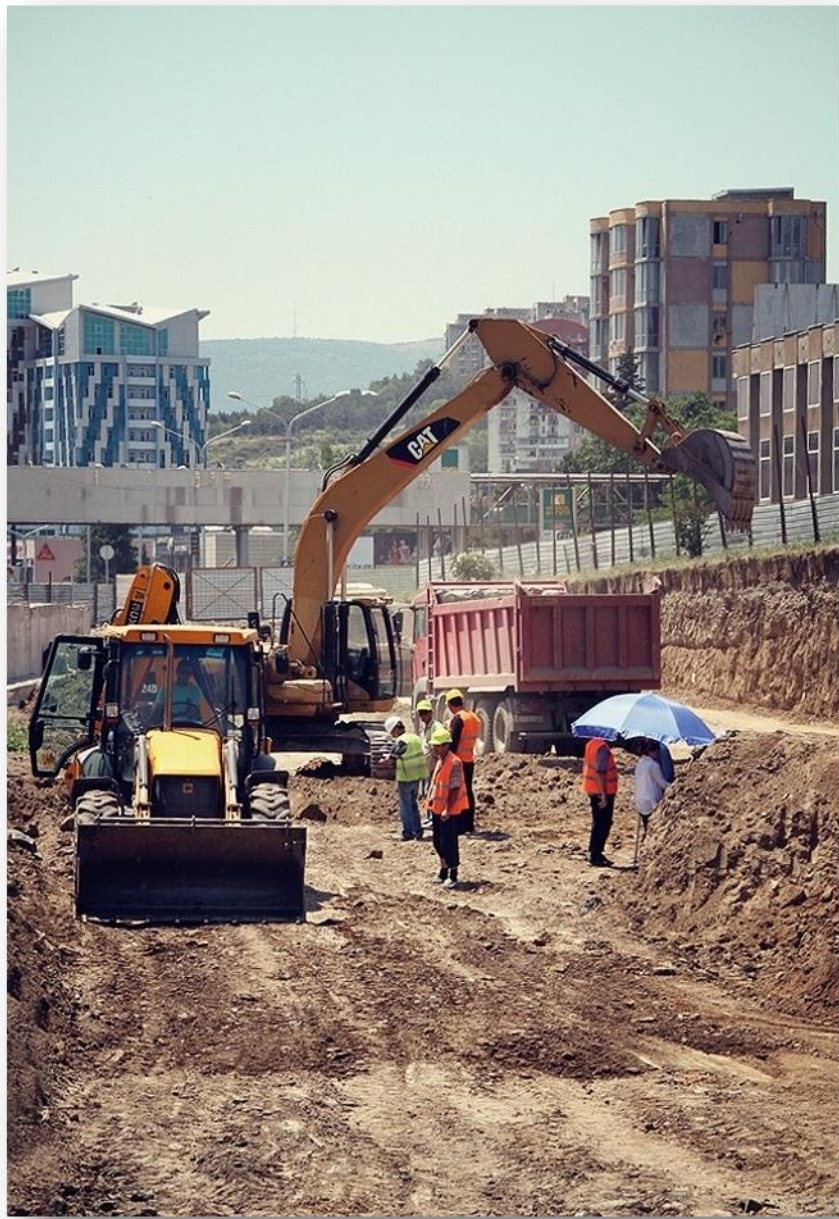
ნახ. 5. საკვლევი გზაჯვარედინის ადგილმდებარეობა.

მეტი თავლსაჩინოებისთვის ნახაზზე 6 წარმოგადგინეთ საკვლევი ტერიტორიის დეტალური რუკა, სადაც დატანილია საკვლევი გზაჯგარედინის სამივე მიმართულება: რობაქიძის გამზირი, მარშალ გელოვანის გამზირი და დავით აღმაშენებელის ხეივანი.



ნახ. 6. საკვლევი გზაჯგარედინი

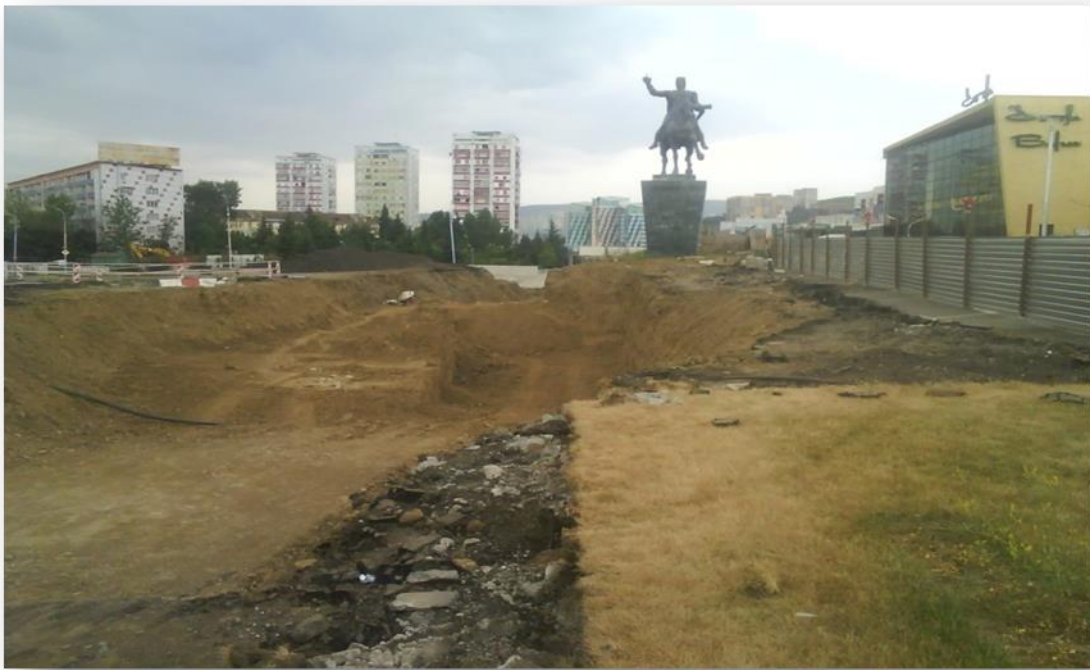
მშენებლობის ამსახველი ფოტო მასალა წარმოდგენილია ნახაზებზე 7-9.



ნახ. 7. მშენებლობის პროცესი



ნახ. 8. მშენებლობის პროცესი



ნახ. 9. მშენებლობის პროცესი

ბეტონის გვირაბის სიგრძე 95 მეტრია და მის ორივე მხარეს აშენებულია კანდუსები. აღნიშნული კვანძის მოწყობა თბილისიდან გამავალი და ქალაქში შემოსული ტრანსპორტის, ასევე რობაქიძის გამზირიდან მოძრავი სატრანსპორტო საშუალებების ნაკადის მკვეთრმა ზრდამ განაპირობა, რაც მუდმივ საცობებს ქმნიდა [10].



ნახ. 10. ახალი გზაგამტარი, მარშალ გელოვანის მონაკვეთი.



ნახ. 11. ახალი გზაგამტარი, რობაქიძის გამბირის მონაკვეთი.



ნახ. 12. ახალი გზაგამტარი, მარშალ გელოვანის მონაკვეთი.

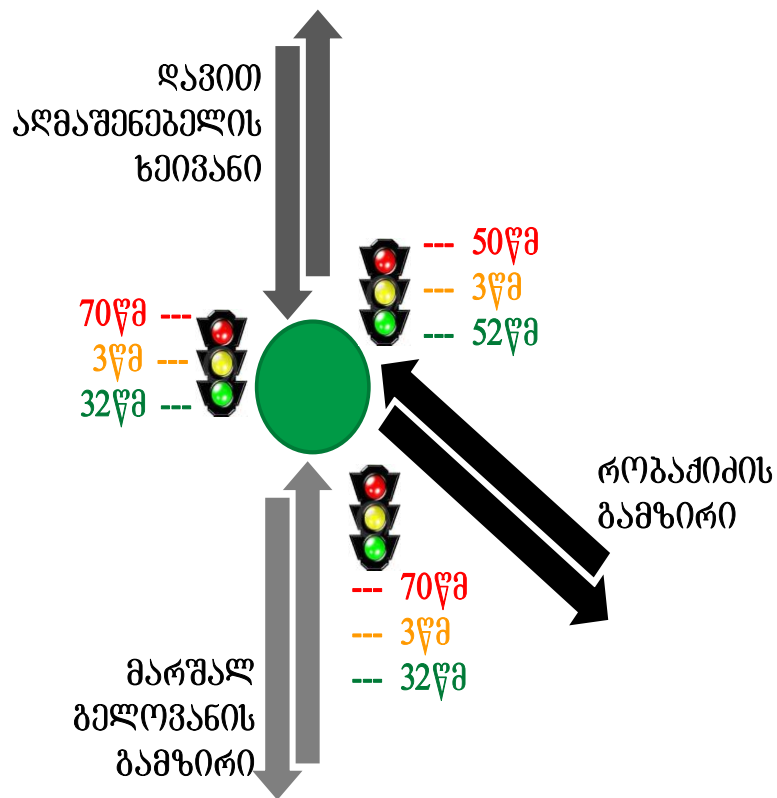


ნახ. 13. ახალი გზაგამტარი, დავით აღმაშენებელის ხეივნის მონაკვეთი.

თავი 5.
საკვლევი შუალიშვილის შესრულება

თანმიმდევრული კვლევისათვის საჭირო გახდა შეგვესწავლა გზაგამტარი გვირაგის ამოქმედების შედეგად საკვლევ ობიექტზე გაუქმებული შუქნიშნები, რის საფუძველზეც საშუალება მოგვეცემა წითელ შუქნიშანზე მდგარი ავტოსატრანსპორტო ნაკადის ინტენსივობით განვსაზღვროთ შემცირებული სათბურის გაზები გზაგამტარი გვირაბის ამოქმედების შედეგად. საკვლევი გზაჯვარედინი წარმოადგენს სამ განშტოებიან გზაჯვარედინს, ამიტომ კვლევის ობიექტი დავყავით სამ განშტოებად (ნახ 14.).

საკვლევი გზაჯვარედინი



→ პირველი განშტოება → მეორე განშტოება → მესამე განშტოება

ნახ. 14. საკვლევი გზაჯგარედინის სქემა.

პირველი განშტოება მიეკუთვნება რობაქიძის გამზირის მიმართულებას, მეორე – დავით აღმაშენებელის ხეივნის მიმართულებას და მესამე – მარშალ გელოვანის გამზირის მიმართულებას. შესაბამისად გზაგამტარის ამოქმედებამდე გზაჯგარედინზე არსებობდა სამი შუქნისანი. საკვლევი შუქნიშნების დეტალური მახასიათებლები წარმოდგენილია ცხრილში 4.

ცხრილი 4. საკვლევი შუქნიშნების დეტალური მახასიათებლები

ინტერვალი	ფერი	I შუქნიშანი	II შუქნიშანი	III შუქნიშანი
		ტაიმერი, წმ		
დგომა	წითელი	50	70	70
მზადება	ყვითელი	3	3	3
მოძრაობა	მწვანე	52	32	32

მიღებული მონაცემებით შესაძლებელი გახდა გამოგვეთვალა წითელი შუქნიშნის დროის ხანგრძლივობა დღედამის განმავლობაში, რამაც 50 წამიანი ინტერვალის შემთხვევაში შეადგინა 15 საათი, ხოლო 70 წამიანი ინტერვალის შემტხვევაში – 19 საათი და 30 წუთი.

თავი 5.1. საკვლევი გზაჯგარედინის ფინანსურირებული შემნიშვნელი მდგარი ავტომატურისაორთის ინტენსივობის განსაზღვრა

კვლევის შემდეგ ეტაპზე საჭირო გახდა გაგვესაზღვრა ავტოსატრანსპორტო ნაკადი საკვლევ გზაჯგარედინზე შუქნიშნის გაუქმებამდე, დღედამის განმავლობაში წითელ შუქნიშანზე მდგარი ავტოსატრანსპორტო ნაკადის ინტენსივობა. ამისათვის შევისწავლეთ ქალაქის რამდენიმე შუქნიშანი: 1. საკვლევი ობიექტის უახლოესი შუქნიშანი მარშალ გელოვანის გამზირზე, 2. მეორე უახლოესი შუქნიშანი გიორგი რობაქიძის გამზირზე, 3. დავით აღმაშენებელის გამზირისა და თამარ მეფის კვეთაზე არსებული შუქნიშანი და 4. ჯორჯ ბალანჩინისა და აკაკი ბელიაშვილის ქუჩების კვეთაზე არსებული შუქნიშანი.

პირველი ორი შუქნიშნის შერჩევა მოხდა იმის გათვალისწინებით, რომ ისინი წარმოადგენენ საკვლევი გზაჯავრედინიდან პირველსავე შუქნიშნებს როგორც გიორგი რობაქიძის, ასევე გმარშალ გელოვანის გამზირებზე, მესამე, დავით აღმაშენებელის და თამარ მეფის გამზირების კვეთაზე არსებული შუქნიშანი შეირჩა მიღებულ მონაცემთ შესადარებლად. ხოლო მეოთხე, ჯორჯ ბალანჩინისა და აკაკი ბელიაშვილის ქუჩების კვეთაზე არსებული შუქნიშანი შეირჩა შემდეგი პრინციპით: 1. იგი წარმოადგენს საკვლევი გზაჯვარედინის ანალოგიურ სამ განშტოებიან გზაჯვარედინს და 2. იგი მდებარეობს ასევე ქალაქიდან გასასვლელ დასავლეთის მიმართულებით ერთ-ერთ ცენტრალურ გზაზე.

იმის გათვალისწინებით, რომ დღედამის სხვადასხვა მონაკვეთში ავტოსატრანსპორტო ნაკადი სხვადასხვა იქნებოდა, ამიტომ 24 საათი დაგჭავით მონაკვეთებად: დღის საათები, დამის საათები და პიკის საათები. დღის ამ მონაკვეთების შესაბამისი მახასიათებლები მოცემულია ცხრილში 5.

ცხრილი 5. დღედამის დაყოფა მოკავეთებად ნაკადის ინტენსივობის გათვალისწინებით

დღედამის პერიოდები			
დღის საათები	დამის საათები	პიკის საათები	
10:00 - 18:00	02:00 – 06:00	დილის პიკი	საღამოს პიკი
		08:00 - 10:00	18:00 - 20:00

ზემოხსენებული მზაჯვარედინების და მათი შუქნიშნების შესწავლამ და მიღებული მონაცემების დამუშავებამ საშუალება მოგვცა მიახლოებული ნიშნულით გაგეესაზღვრა საკვლევი გზაჯვარედინის სამივე შუქნიშანის შემთხვევაში წითელ შუქნიშანზე მდგარი ავტოსატრანსპორტო ნაკადის ინტენსივობა დღედამის სხვადასხვა მონაკვეთში.

მიღებული შედეგები წარმოვადგინეთ ცხრილი 4-ის სახით, სადაც მოცემულია წითელ შუქნიშანზე მდგარი ავტოტრანსპორტის ინტენსივობა პატეგორიებად როგორც ერთჯერადად, ასევე 24 სთ-ში და წელიწადში.

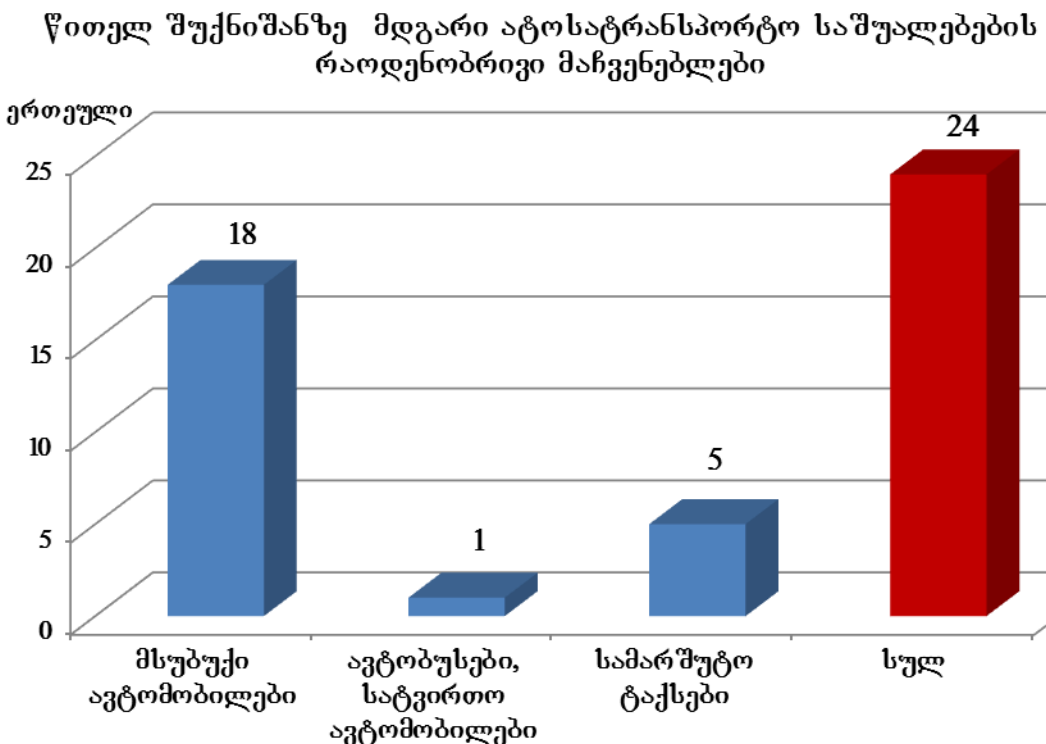
ცხრილი 4. წითელ შუქნიშანზე მდგარი ავტოსატრანსპორტი ნაკადის საშუალო
ინტენსივობა საკვლევი გზაჯვარედინისთვის

ტრანსპორტის კატეგორია	მსუბუქი ავტომობილი		ავტობუსი, სატვირთო	სამარშუტო ტაქსი
	ბენზინზე მომუშავე	ბუნებრივი გაზზე მომუშავე		
ერთჯერადად	10	8	1	5
დღედამეში (15სთ)	10800	8640	1080	5400
წელიწადში	3942000	3153600	394200	1971000

ცხრილი 5. საკვლევი გზაჯვარედინის წითელ შუქნიშანზე მდგარი
ავტოსატრანსპორტი ნაკადის საშუალო ინტენსივობა

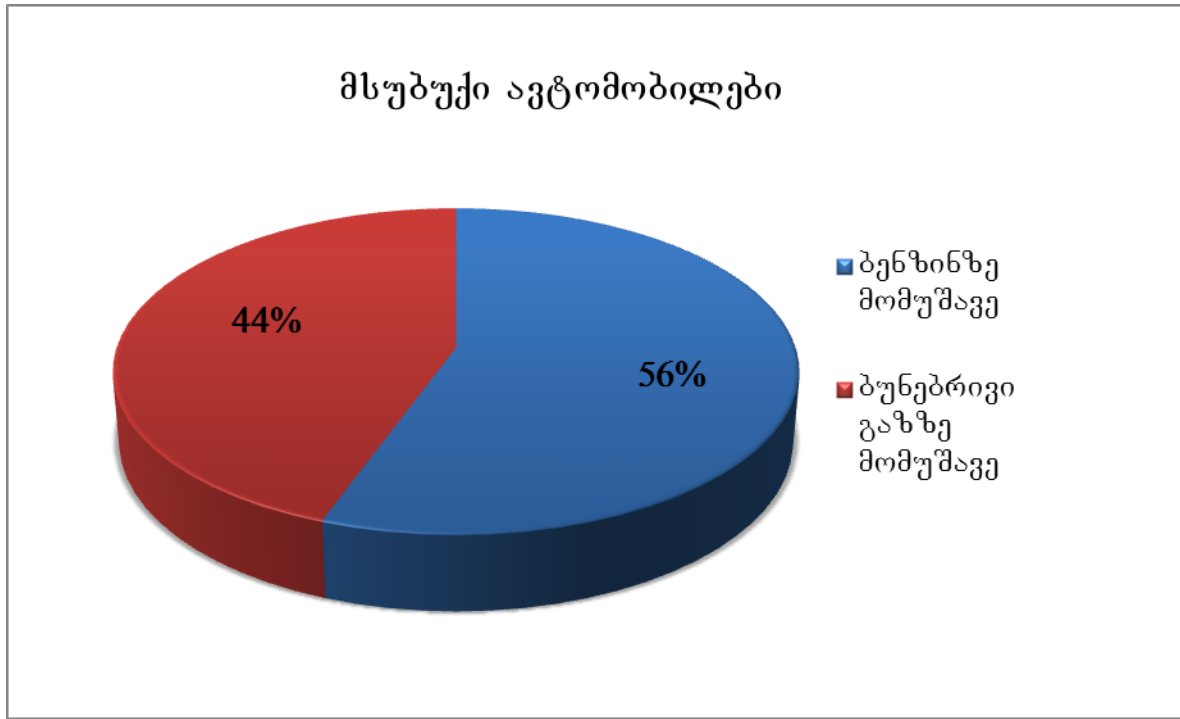
ტრანსპორტის კატეგორია	ერთი შუქნიშნის ჯამური მაჩვენებლები	სამი შუქნიშნის ჯამური მაჩვენებელი
ერთჯერადად	24	72
დღედამეში (15სთ)	25920	77760
წელიწადში	9460800	28382400

ნახაზზე 15. წარმოდგენილია წითელ შუქნიშანზე მდგარი ავტოსა-
ტრანსპორტო საშუალებების რაოდენობრივი მაჩვენებლები კატეგორიების
მიხედვით.



ნახ. 15. წითელ შუქნიშანზე მდგარი ავტოსარტანსპორტო საშუალებების
რაოდენობრივი მაჩვენებლები კატეგორიების მიხედვით.

ცალკე უნდა აღინიშნოს ის ფაქტი, რომ მსუბუქი აგტომობილები მოხმარენ
როგორც ბენზინს, ასევე ბუნებრივ გაზს. ჩვენს შემთხვევაში წითელ შუქნიშანზე
მდგარი მსუბუქი აგტომობილების პროცენტული მაჩვენებლები, მოხმარებული
საწვავის სახეობის მიხედვით წარმოვადგინეთ ნახაზზე 16.



ნახაზი 16. მსუბუქი ავტომობილების პროცენტული მაჩვენებლები მოხმარებული საწვავის სახეობის მიხედვით

5.2. საკვლევი გზაჯგარებინის ფითელ ჟურნალის მდგარი აპტოტრანსალტის მიერ მოხმარებული საწვავის განსაზღვრა

წითელ შუქნიშანზე მდგარი ანუ ფუჭი მუშაობის პირობებში ავტოსატრანსპორტო საშუალების მიერ მოხმარებული საწვავის განსაზღვრისათვის მოვიძიეთ ინტერნეტ მონაცემები და ასევე ვაწარმოეთ გამოკითხვა მძღოლებში. მონაცემების დამუშავებით გამოვთვალეთ ერთეული ავტოსატრანსპორტო საშუალების მიერ 1 საათში დახარჯული საწვავი, საწვავის სახეობისა და ავტოტრანსპორტის კატეგორიების მიხედვით.

საწვავის რეალური ხარჯის მისაღებად დავითვალეთ დღედამის განმავლობაში რამდენ საათს შეადგენს წითელ შუქნიშანზე გაჩერებული ტრანსპორტის დროის ხანგრძლივობა. იმის გათვალისწინებით, რომ საკვლევი

შუქნიშნებისათვის წითელი ფერის ხანგრძლივობა შეადგენს I განშტოებაზე 50 წამს, ხოლო II და III განშტოებაზე 70 წამს (ნახ.14) შესაბამისად მივიღეთ, რომ I განშტოების შუქნიშნის წითელზე გაჩერებული ავტოტრანსპორტის დროის ხანგრძლივობა შეადგენს 15 საათს დღედამის განმავლობაში. ხოლო II და III განშტოების შუქნისნისათვის დროის ხანგრძლივობამ შეადგინა 19.30 საათი. ცხრილში 6, 7. წარმოდგენილია წითელ შუქნიშანზე დგომის ანუ ფუჭი მუშაობისას საწვავის ხაჯრის მონაცემები: საათში, დღედამეში დაწელიწადში. საწვავის ხარჯის მონაცემები დათვლილია როგორც 50, ასევე 70 წამიანი წითელი შუქნიშნისათვის საწვავის სახეობის გათვალისწინებით.

ცხრილი 6. 50წ-იანი წითელ შუქნიშანზე მდგარი (ფუჭი მუშაობისას) ერთეული
სატრანსპორტო საშუალების მიერ მოხმარებული საწვავი

ტრანსპორტის კატეგორია	მსუბუქი ავტომობილი		ავტობუსი, სატვირთო	სამარშუტო ტაქსი
	ბენზინი (ლ)	ბუნებრივი გაზი (მ³)		
საათში	0.6	1.5	0.4	0.3
დღედამეში (15სთ)	9.0	22.5	6.0	4.5
წელიწადში	3285 *(3.3)	8212.5	2190 (2.2)	1642.5 (1.6)

*ფრჩხილებში მოცემულია საწვავის მოხმარება ტონებში

ცხრილი 7. 70წ-იანი წითელ შუქნიშანზე მდგარი (ფუჭი მუშაობისას) ერთეული
სატრანსპორტო საშუალების მიერ მოხმარებული საწვავი

ტრანსპორტის კატეგორია	მსუბუქი ავტომობილი		ავტობუსი, სატვირთო	სამარშუტო ტაქსი
	ბენზინი (ლ)	ბუნებრივი გაზი (მ³)		
საათში	0.6	1.5	0.4	0.3
დღედამეში (19.5სთ)	11.7	29.2	7.8	5.8
წელიწადში	4270.5 *(4.3გ)	10676.0	2847.0 (2.8გ)	2135.2 (2.1გ)

*ფრჩხილებში მოცემულია საწვავის მოხმარება ტონებში

ავტოსატრანსპორტო ნაკადის ინტენსივობის მონაცემების დაყრდნობით განვსაზღვრეთ ფუჭი მუშაობის დროს დახარჯული საწვავის წლის ჯამური რაოდენობა და წარმოვადგინეთ მიღებული შედეგები ცხრილში 8, სადაც მოცემულია საწვავის ხარჯი საწვავის სახეობის გათვალისწინებით ავტოტრანსპორტის შემდეგი კატეგორიებისთვის: მსუბუქი ავტომობილები, ავტობუსები და სათვირთო ავტომობილები, სამარშუტო ტაქსები. ცხრილში მიღებული შედეგები წარმოდგენილია განშტოების მიხედვით.

ცხრილი 8. წითელ შუქნიშანზე მდგარი სატრანსპორტო საშუალების მიერ
მოხმარებული საწვავის წლის ჯამური მაჩვენებლები

ტრანსპორტის კატეგორია	მსუბუქი ავტომობილი		ავტობუსი, სატვირთო	სამარშუტო ტაქსი
	ბენზინი (ტონა)	ბუნებრივი გაზი (მ³)		
I განშტოება, 50წმ-იანი წითელი შუქნიშნი				
ერთეული	3.3	8212.5	2.2	1.6
ჯამური	13008600	24636000	867240	3153600
II განშტოება, 70წმ-იანი წითელი შუქნიშნი				
ერთეული	4.3	10676	2.8	2.1
ჯამური	16950600	32028000	1103760	4139100
III განშტოება, 70წმ-იანი წითელი შუქნიშნი				
ერთეული	4.3	10676	2.8	2.1
ჯამური	16950600	32028000	1103760	4139100

ხოლო, წლის ჯამური მაჩვენებლები სამივე შუქნიშნისათვის მოცემულია
ცხრილში 9.

ცხრილი 9. წითელ შუქნიშანზე მდგარი სატრანსპორტო საშუალების მიერ
მოხმარებული საწვავის ჯამური მაჩვენებლები (სამივე
შუქნიშნისთვის)

ტრანსპორტის კატეგორია	მსუბუქი ავტომობილი		ავტობუსი, სატვირთო	სამარშუტო ტაქსი
	ბენზინი (ტონა)	ბუნებრივი გაზი (მ³)	დიზელი (ტონა)	დიზელი (ტონა)
ჯამური	29959200	566640000	1971000	7292700

თავი 6.

შუალედობის გაუმჯობის შედეგად სათბურის გაზების ემისიის შემცირების განსაზღვრა

ავოსატრანსპორტო ნაკადის და მოხმარებული საწვავის მონაცემების საშუალებით საკვლევი გზაჯვარედინისათვის შეფასდა ძირითადი სათბურის გაზების, CO_2 -ის, N_2O -ს და CH_4 -ის ემისიების წლის საშუალო მაჩვენებლები შესაბამისი ხელდროითი კოეფიციენტების [7,8] გამოყენებით. მიღებული შედეგები წარმოვადგინეთ ხცრილში 10.

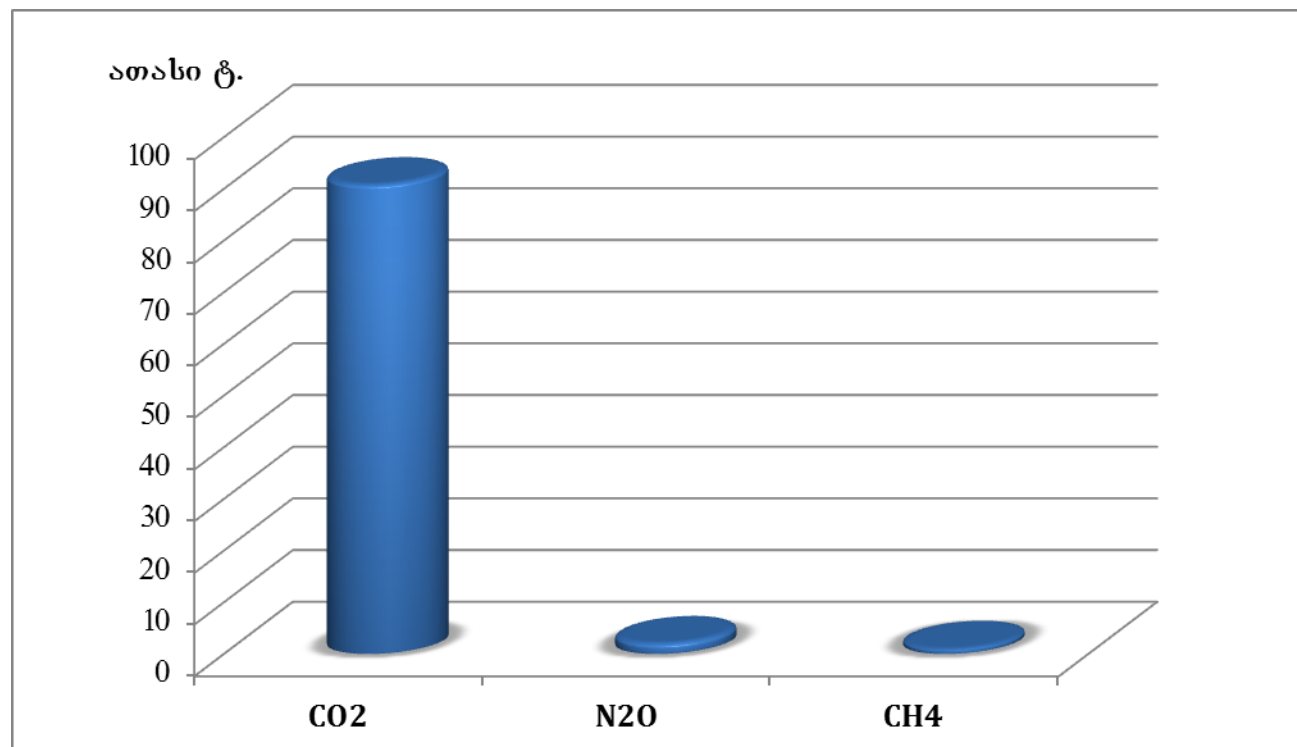
ცხრილი 10. ძირითადი სათბურის გაზების, CO_2 -ის, N_2O -ს და CH_4 -ის ემისიების წლის საშუალო მაჩვენებლები მოხმარებული საწვავის მიხედვით

ტრანსპორტის კატეგორია	მსუბუქი ავტომობილი		ავტობუსი, სატვირთო	სამარშუტო ტაქსი
	ბენზინი (ტონა)	ბუნებრივი გაზი (მ ³)		
ემისია ათასი ტ.	CO_2	66.0	1.04	4.964
	N_2O	1.5	0.001	0.114
	CH_4	0.03	0.945	0.0003

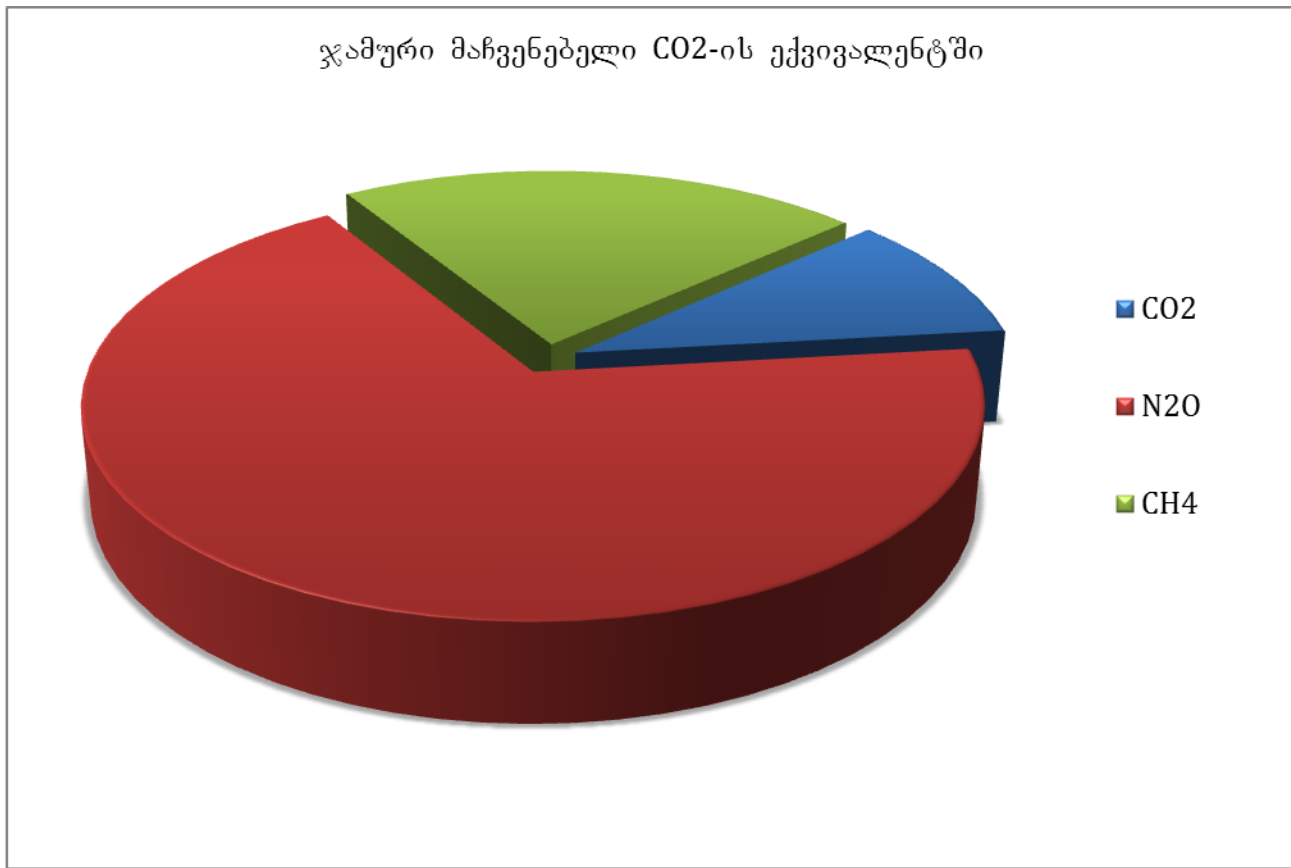
ცხრილში 11 მოცემულია ემიტირებული სათბურის გაზების წლის ჯამური მაჩვენებლები თითოეული სათბურის გაზისათვის: CO_2 , N_2O და CH_4 . საბოლოო შედეგები მოცემულია ნახაზზე 17, ხოლო როგორც მიღებული პრაქტიკა საკვლევი სათბურის გაზები გადავიყვანეთ CO_2 -ის ექვივალენტში და წარმოვადგინეთ ნახაზზე 18.

ცხრილი 11. სათბურის გაზის ემისიის წლის ჯამური მაჩვენებელისაკვლევი გზაჯვარედინისათვის, ათასი ტ.

სათბურის გაზის ემისია, ათასი ტ.	CO_2	N_2O	CH_4
ჯამური მაჩვენებელი	90.8	2.015	0.976
ჯამური მაჩვენებელი CO_2 -ის ექვივალენტი	90.8	624.65	20.496
ჯამი CO_2 -ის ექვივალენტი		735.946	



ნახ. 17. სათბურის გაზის ემისიის წლის ჯამური მაჩვენებელი საკვლევი გზაჯვარედინისათვის, ათასი ტ.



ნახ. 18. საკვლევი გზაჯვარედინიდან ემიტირებული საობურის გაზები წლის
ჯამური მაჩვენებელი CO₂-ის ექვივალენტში, ათასი ტ.

დ ა ს პ გ ნ ე ბ ი

ქ.თბილისში მარშალ გელოვანის გამზირის, დავით აღმასენებელის ხეივნის და გიორგი რობაქიძის გამზირის დამაკავშირებელ გზაჯვარედინზე ჩატარდა კვლევა ახალი გზაგამტარის და გაუქმებული შუქნიშნის ეკოლოგიური ეფექტურობის შესაფასებლად.

ჩატარებული კვლევები და შესაბამისი შედეგები შესაძლებელს ხდის დავასკვნათ, რომ:

- ✓ ქ.თბილისში მარშალ გელოვანის გამზირის, დავით აღმასენებელის ხეივნის და გიორგი რობაქიძის გამზირის დამაკავშირებელ გზაჯვარედინზე გზის რეკონსტრუქცია, კერძოდ გზაგამტარი გვირაბის მშენებლობა წარმოადგენს ქმედით ნაბიჯს საავტომობილო გზების განტვირთვის დონისძიებების კუთხით;
- ✓ კვლევით მიღებული შედეგები მიგვანიშნებს ავტოტრანსპორტიდან ემიტიებულ საობურის გაზების მაღალ მაჩვენებელზე, რაც ამართლებს რეკონსტრუქციის ეფექტურობას.
- ✓ შეიძლება ითქვას, რომ საკვლევ გზაჯვარედინზე გაუქმებული შუქნიშნების შედეგად შემცირებული საობურის გაზების რაოდენობრივი მაჩვენებლები წარმოადგენს მცირე წვლილს „მერების შეთნხმების“ დოკუმენტით ნაკისრ ვალდებულებათა შესრულებაში;
- ✓ მივიჩნევთ, რომ დედაქალაქში, სადაც ტრანსპორტის წილი საობურის გაზების ემისიაში 40%-ით განისაზღვრება საავტომობილო გზების მსგავსი რეკონსტრუქცია არის ქმედითი დონისძიება საობურის გაზების შემცირების კუთხით.
- ✓ მიღებული შედეგები საშუალებას იძლევა დამაჯერებლად ვთქვათ, რომ საკვლევ გზაჯვარედინზე გზაგამტარის მშენებლობა წარმოადგენს ეკოლოგიური ეფექტურობის მქონე მნიშვნელოვან დონისძიებას ავტოტრანსპორტიდან ემიტირებული საობურის გაზების შემცირების კუთხით.

ლიტერატურა

1. ბერიგაშვილი ბ., შვანგირაძე მ. სათბურის გაზების შემცირების პოტენციალი საქართველოს მრეწველობისა და ენერგეტიკის სფეროში. იდრომეტეროლოგიის ინსტიტუტი, 2002, №108, გვ.209-221.
2. თანამედროვე ენერგოეფექტური ტექნოლოგიებისა და განათების ინიციატივა. თბილისის ენერგეტიკის მდგრადი განვითარების სამოქმედო გეგმა. თბილისი, 2011.
3. მჭედლიშვილი კ., ბურდულაძე ა., გელაშვილი ო., არჩვაძე გ. საავტომობილო გზები. საქართველოს ტექნიკური უნივერსიტეტი, თბილისი 2009.
4. სათბურის გაზების ეროვნული ინვენტარიზაცია. გაეროს განვითარების პროგრამა/გლობალური გარემოს დაცვის ფონდი. თბილისი, 2008. გვ3-35.
5. სათბურის გაზების ეროვნული ინვენტარიზაცია. საქართველოს მეორე ეროვნული შეტყობინება კლიმატის ცვლილების ჩარჩო-კონვენციისთვე, თბილისი, 2009.
6. შვანგირაძე მ. კლიმატის ცვლილების კონვენცია და კიოტოს პროტოკოლი საქართველოს ეკონომიკის მდგრადი განვითარების ერთ-ერთი ინსტრუმენტი. UNEP, GFSIS, MEPRS of Georgia, თბილისი, 2006.
7. Faiz A, Weaver C.S., M.P. Walsh M.P. Air Pollution from Motor Vehicles. The World Bank, Washington, D.C. IBRD, 1996
8. Greenhouse Gas Inventory Reporting Instruction. IPCC Guidelines for National Greenhouse Gas Inventories, 1996. pp.1.72-1.75.
9. <http://www.ipcc-nggip.iges.or.jp/public/2006gl/vol2.html>
10. www.tbilisi.gov.ge
11. <http://www.unfccc.int>